

京都大学防災研究所 正員 下島栄一、石原安雄
京都大学大学院 学生員 葛葉泰久

1.はじめに：陸水の循環過程において、特に乾燥地帯では、地面上からの水の蒸発は一つの境界条件となる極めて重要な現象である。現象は気象条件と土地条件が複雑にからみ合って生じていて、蒸発に関するこれらの要素の分析が不明確で、実際の現象の解明が難しい状況である。本文は、これらの適当な要素を固定しつつ実験的に地面（砂地）からの蒸発機構を解明するために行なった実験結果を記したものである。

2. 実験条件：実験装置は天秤計り上に設置された長さ94cm、幅34cm、高さ67cmの砂層（平均粒径が0.25mmの比較的均一な砂）の表面が、断面40cm×40cmの直線風洞の一部下面となっている。実験は、ほぼ水分飽和となる砂層の表面上に、温度25.5°C、相対湿度40%の空気を、平均風速(\bar{U}) 293 cm/sec, 215 cm/sec, 150 cm/sec, 67 cm/secで流し続けることにより行なわれた。以下ではそれをcase 1, … case 4と呼ぶ。測定項目は砂層内の水圧と温度および蒸発量であり、それぞれ深さ方向に4～5本、気流方向に4列に並べられたポーラスカッパ（計18本、マノメータ方式）、砂層表面中央部より深さ方向に7本の熱電対、および天秤計りの重量変化によることで計測した。なお、室温は気流温度にはほぼ等しい。

3. 実験結果とその考察

(1) 蒸発量：図1は積算蒸発量(I)の時間変化を示したものであり、また図2は図1の実験開始後の比較的短い期間での様子を拡大したものである。これらよりつきのことことがわかる。(1)蒸発強度E($= dI/dt$)の変化は実験開始直後を除くと、つきの4段階に大別できる。まず、 $t=20\sim30$ hr程度($= t_1$)までの、ほじり一定値(E_1)とする第1段階、一旦急減した後ほぼ元に回復する第2段階、 $t=100\sim200$ hr程度($= t_2$)まで一定値(E_2)とする第3段階、最後に次第に緩やかに減少してゆく第4段階である。② I($t; \bar{U}$)は、 \bar{U} が大きなものほど大きいが、E($t; \bar{U}$)はある時間から \bar{U} が大きなものほど大きいという傾向を示さなくなる。図3は E_1 , E_2 と \bar{U} との関係をプロットしたものであり、③Eについてのは明確な関係はあらわれていないが、 E_2 は \bar{U} とはほぼ直線関係にある。

(2) 地下水面：砂層表面からの深さをzと記すと、① $z = 5.3\sim66.4$ cmの間の全水頭(Z)マノメータ水位は実験中等しく、ただ $z = 5.3$ cmのものは蒸発が第4段階にある途中より他のものと比べて小さくなつてゆくことが実験的にわかつ、(2)

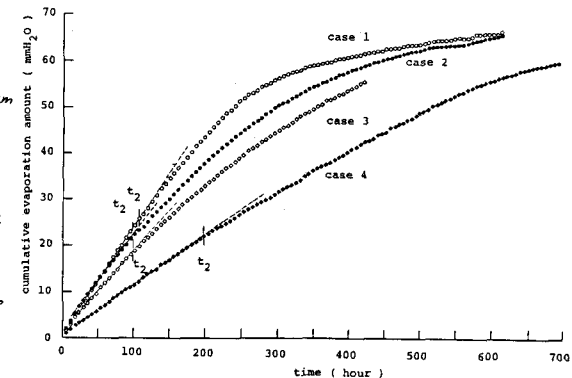


図-1. 積算蒸発量の時間変化

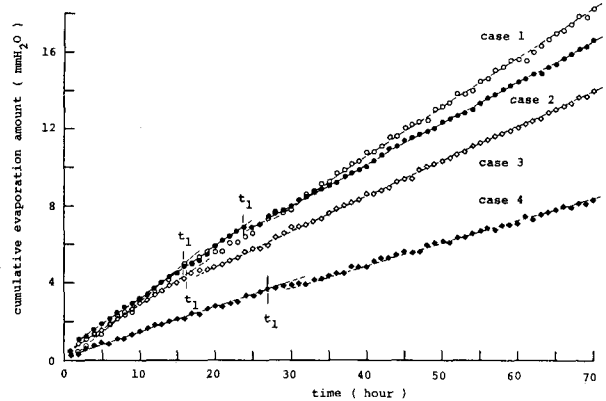


図-1と同様、但し初期段階での変化

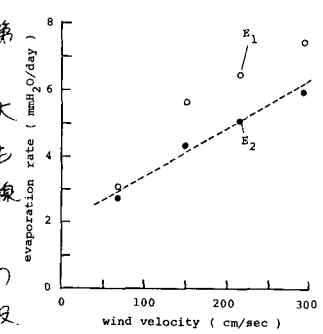


図-3. E_1 , E_2 と \bar{U} との関係

る。水圧が0の面を地下水水面と定義し、この面の深さ(Z_w)の時間的変化を調べると、図4のようになるが、これよりつぎのことがわかる。 $\textcircled{1}$ 地下水水面は、実験開始後急に低下した後ある区間($t_1^* < t < t_2^*$)ほぼ直線的に変化し、その後緩やかに低下を示す。 $\textcircled{2}$ $Z_w(t; H)$ ほど大きいものほど大きい。 $\textcircled{3}$ $Z_w(t; H)$ は t にほぼ対応し、また $t=t_1^*$, $t=t_2^*$ での Z_w は H に関係なくほぼ一定の値をとる。

(3)蒸発量と地下水水面との関係：測定された積算蒸発量と地下水水面の深さとの関係をcase 2とcase 4について

調べてみると図5のようになる。ここで図中の白丸は次の値を示す。すなわち、(2)述べた実験事実①と砂層の初期水分条件を考慮して、地下水面上での水分量分布が飽和状態からの脱水過程の水分特性曲線になっていると考えて求めた計算値である。この計算値と実験値はよく合致している(他のcaseについても同様)ので、これより積算蒸発量は上記の水分量分布を介して地下水水面の深さと関係づけられることになる。なお、コメータ水位と上記の水分特性曲線を介してcase 2の場合の水分量分布の時間変化を示すと、図6の実線とある。図中の白丸は $t=600\text{ hr}$ に $Z=0\text{~}0.5\text{ cm}$ 間の砂のサンプルを直接重量測定することにより求めた水分量の値を示す。これより少なくともこのような段階では砂層表面直下での水分量は急速に減少していくことがわかる。

(4)砂層内の温度：図7はcase 2の各温度測点での時間変化を示したものであるが、この图および他のcaseの同様の图(図8参照)より次のことがわかる。

①砂層内温度は深さによって程度差はあるが、平均的にみると一旦急減した後、次第に緩やかな増加傾向を示す。②温度変化の程度は砂層表面に近いものほど著しい。蒸発は潜熱を伴うので、これより砂層表面と最上位の測点($Z=4.4\text{ cm}$)との間で、すなわち表面近傍で蒸発が生じていたと推測される。図8は各caseの $Z=4.4\text{ cm}$ での温度変化の様子を示したものであるが、これより③ H の大さなものほど温度変化の程度が著しく、また④平均的にみると、一旦低下した温度の回復が速いことがわかる。④は、 $E(t; H)$ が遅いほど H が大きいほど小さくなるという蒸発強度の変化傾向(1)の(2)参照)に対応するが、これは潜熱の問題に起因する。なお図8で蒸発の第2段階(1)参照)の時間帯に注目すると、 E の一時的急減に対応して温度が急増していく(矢印)ことからわかるが、その生起原因は明確ではない。

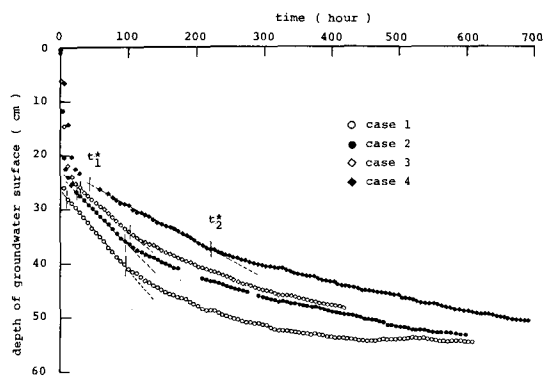


図-4. 地下水面の深さ(Z_w)の時間変化

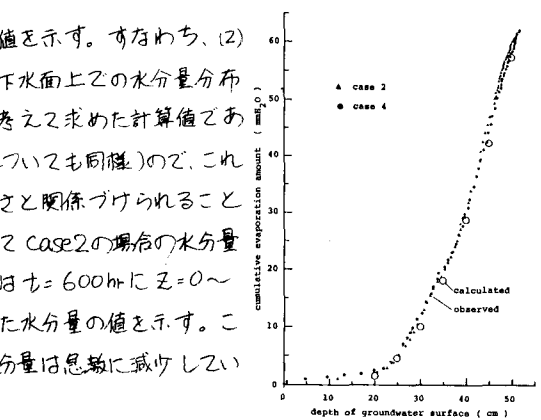


図-5. I と Z_w との関係

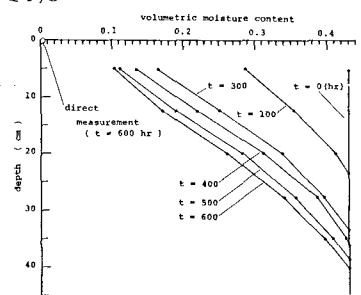


図-6. 水分量分布の時間変化

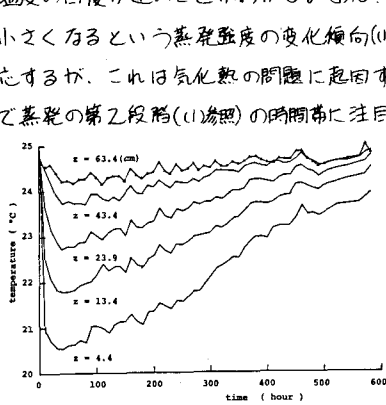


図-7. 砂層内温度の時間変化

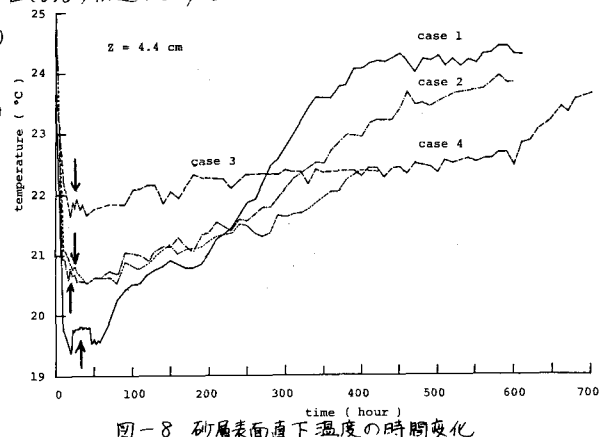


図-8. 砂層表面直下温度の時間変化